
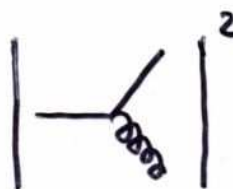


## Übersicht der QCD-Tests

- Existenz der Farbladung ✓
- Existenz des Gluons ✓
- Laufen der (renormierte) Kopplungskonstanten ✓
- Gruppen- oder Strukturkonstanten: Farbfaktoren
- Drei-Gluon-Kopplung    
A Feynman diagram showing a three-gluon vertex. It consists of three wavy lines representing gluons meeting at a central point. One line enters from the left, one from the bottom, and one exits to the right.
- Flavour-unabhängigkeit der starken Kopplung
- Laufen der (renormierten  $\overline{MS}$ -) Quarkmassen
- Quark - Gluon - Unterschiede

## Bestimmung der Farbfaktoren

Zur Erinnerung: Die Farbfaktoren spielen neben der Kopplungskonstanten  $\alpha_s$  eine Rolle bei der Beschreibung der Wechselwirkungsstärke zwischen Quarks & Gluonen:




A Feynman diagram showing a quark line (solid line) entering from the left and splitting into a quark line and a gluon line (curly line) exiting to the right.

$$\left| \text{---} \begin{array}{l} \diagup \\ \diagdown \end{array} \begin{array}{l} \text{---} \\ \text{---} \end{array} \right|^2 \sim \alpha_s \cdot C_F$$

$C_F$  findet sich bereits in 3-Jet-Matrixelement  $\frac{1}{V_0} \frac{d^2\sigma}{dx_q dx_{\bar{q}}} = C_F \cdot \alpha_s \dots$

Die Quark-Antiquark-Aufspaltung eines Gluons:




A Feynman diagram showing a gluon line (curly line) entering from the left and splitting into a quark line and an antiquark line (solid lines) exiting to the right.

$$\left| \text{---} \begin{array}{l} \diagup \\ \diagdown \end{array} \begin{array}{l} \text{---} \\ \text{---} \end{array} \right|^2 \sim \alpha_s \cdot T_R \cdot n_f$$

für  $n_f$  verschiedene Quarkflavour-freiheitsgrade

Der wichtigste Unterschied zw. QED & QCD liegt in der Gluon-Selbstwechselwirkung (Grund dafür ist die nicht-abelsche Struktur der QCD):



A Feynman diagram showing a three-gluon vertex where three gluon lines (curly lines) meet at a central point.

$$\left| \text{---} \begin{array}{l} \diagup \\ \diagdown \end{array} \begin{array}{l} \text{---} \\ \text{---} \end{array} \right|^2 \sim \alpha_s \cdot C_A$$

Die Gruppenstruktur der QCD sagt voraus:  $C_F = \frac{4}{3}$ ,  $C_A = 3$ ,  $T_R = \frac{1}{2}$   
Zur Bestätigung der QCD als Theorie der starken Ww. müssen diese Farbfaktoren im Experiment gemessen und insbesondere die Existenz der **Drei-Gluon-Kopplung** nachgewiesen werden.

# Farbfaktoren, Drei-Gluon-Kopplung

Während  bereits in niedrigster, nicht-trivialer Ordnung

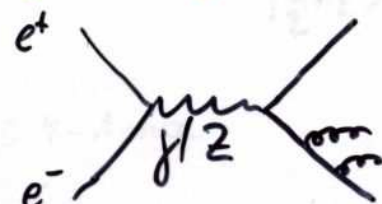
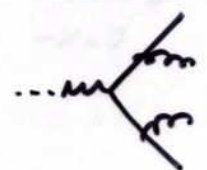

in  $e^+e^-$ -Vernichtung auftritt, können die beiden Grafen

 und  nur in der nächsthöheren Ordnung

$\mathcal{O}(\alpha_s^2)$  beobachtet werden. In dieser Ordnung treten insges-

samt 4 Partonen ( $\cong$  Quarks & Gluon) gemäß des folgenden

Grafen auf:

•  +  +  Doppelbremsstrahlung von Gluonen

•  +  Gluonsplitting in Quark-Antiquark

•  +  Triple-Gluon-Vertex

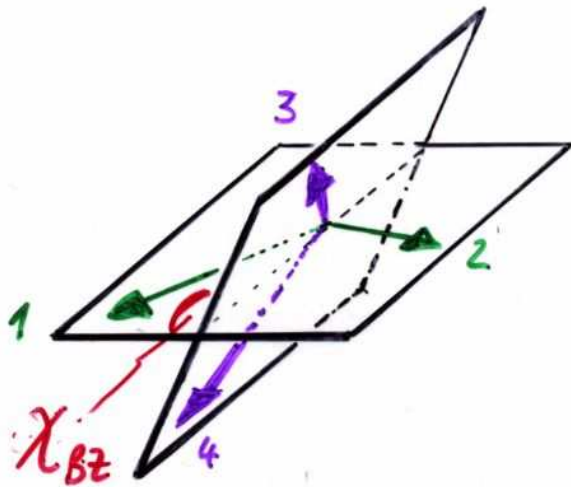
Um den Triple-Gluon-Vertex zu identifizieren, muss man diese drei Klassen voneinander trennen. Da man i.A. Quark und Gluon induzierte Jets nicht unterscheiden kann, nutzt man die unterschiedlichen Spins von Quark & Gluon zur Trennung der drei Klassen aus.

## Trennung von $\leftarrow$ , $\leftarrow$ , $\leftarrow$

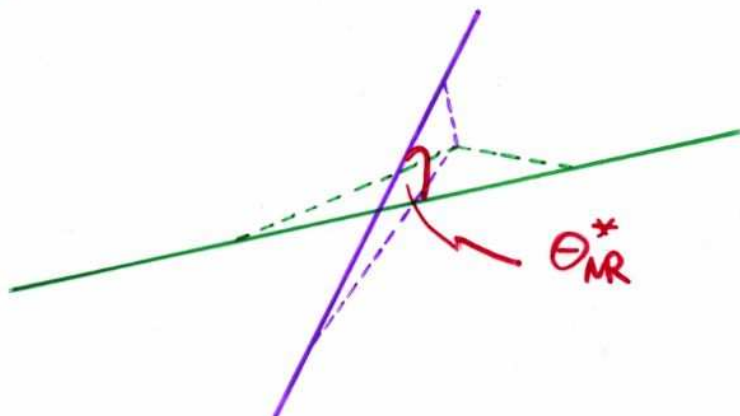
Idee: Messe die relative Orientierung der Ebenen von den primären  $q\bar{q}$ - zu den sekundären  $q'\bar{q}'$ - oder GG-jets.

Z.B.:

- Bengtsson-Zerwas-Winkel:  $\chi_{BZ} := \angle [(\vec{p}_1 \times \vec{p}_2), (\vec{p}_3 \times \vec{p}_4)]$



- Nachtmann-Reiter-Winkel:  $\Theta_{NR}^* := \angle [(\vec{p}_1 - \vec{p}_2), (\vec{p}_3 - \vec{p}_4)]$



- Körner-Schierholz-Willrodt:  $\Phi_{KSW} := \frac{1}{2} \cdot \{ \angle [(\vec{p}_1 \times \vec{p}_4), (\vec{p}_2 \times \vec{p}_3)] + \angle [3 \leftrightarrow 4] \}$
- Winkel zw. Jets 3 und 4:  $\alpha_{34} := \angle [\vec{p}_3, \vec{p}_4]$

## Experimentelle Hürden

- Man kann primäre  $q\bar{q}$  und sekundäre  $q\bar{q}$  bzw. GG nicht unterscheiden!

Lösung: Im Mittel sind die primären  $q\bar{q}$  höher energetisch als die sekundären  $q\bar{q}$  bzw. GG, Ordne daher Jets nach abnehmender Energie als Jet 1, 2, 3, 4.

- Im Experiment werden Hadronen beobachtet, keine Quarks oder Gluonen!

Lösung: Fasse eng benachbarte Hadronen zu Teilchen=bündel <sup>den Jets</sup> zusammen, deren Energie & Impuls mit Energie und Impuls der ursprünglichen Quarks <sup>bzw. Gluonen</sup> assoziiert werden.

## Jetalgorithmen

... fassen Hadronen systematisch zu Teilchenbündel zusammen. Viele verschiedene Algorithmen existieren. Eine große Klasse davon nutzt eine Vorschrift, die vom JADE-Experiment erstmals eingesetzt wurde, den JADE-Algorithmus:

- (i) Berechne Abstand  $y_{ij}$  zwischen allen Teilchen

$$y_{ij} := \frac{2E_i \cdot E_j}{s} \cdot (1 - \cos \theta(i,j))$$

- (ii) Finde kleinsten Abstand  $y_{\min} = \min_{i,j} (y_{ij})$ .

Falls

$$y_{\min} > y_{\text{cut}}$$

für vorgegebenen Jetauflösungsparameter  $y_{\text{cut}}$ , dann sind die verbliebenen (pseudo-)teilchen die gesuchten Jets. Sonst ...

- (iii) Rekombiniere die (pseudo-)teilchen  $i$  und  $j$

$$\text{zu } E_k = E_i + E_j$$

$$\vec{p}_k = \vec{p}_i + \vec{p}_j$$

wonach Pseudoteilchen  $k$  die Teilchen  $i$  und  $j$  ersetzt. Dann wiederhole (i) - (iii) bis  $y_{\min} > y_{\text{cut}}$ .

# Jetalgorithmen auf Basis des JADE-Algorithmus

Algorithmen



Abstandsmaß



Rekombinations-

Vorschrift



Table 5

Definition of the resolution parameters and recombination prescriptions for various frequently used jet algorithms. Energy and three-momentum of jets are indicated as  $E$  and  $\mathbf{p}$ , respectively, while upright boldface variables denote four-vectors. The centre-of-mass energy is  $\sqrt{s}$ , but often the total visible energy is used instead in experiments. For massless quarks the E0- and JADE-algorithms are identical in second-order perturbation theory. The C-algorithm has a two-stage resolution criterion which is described in the text

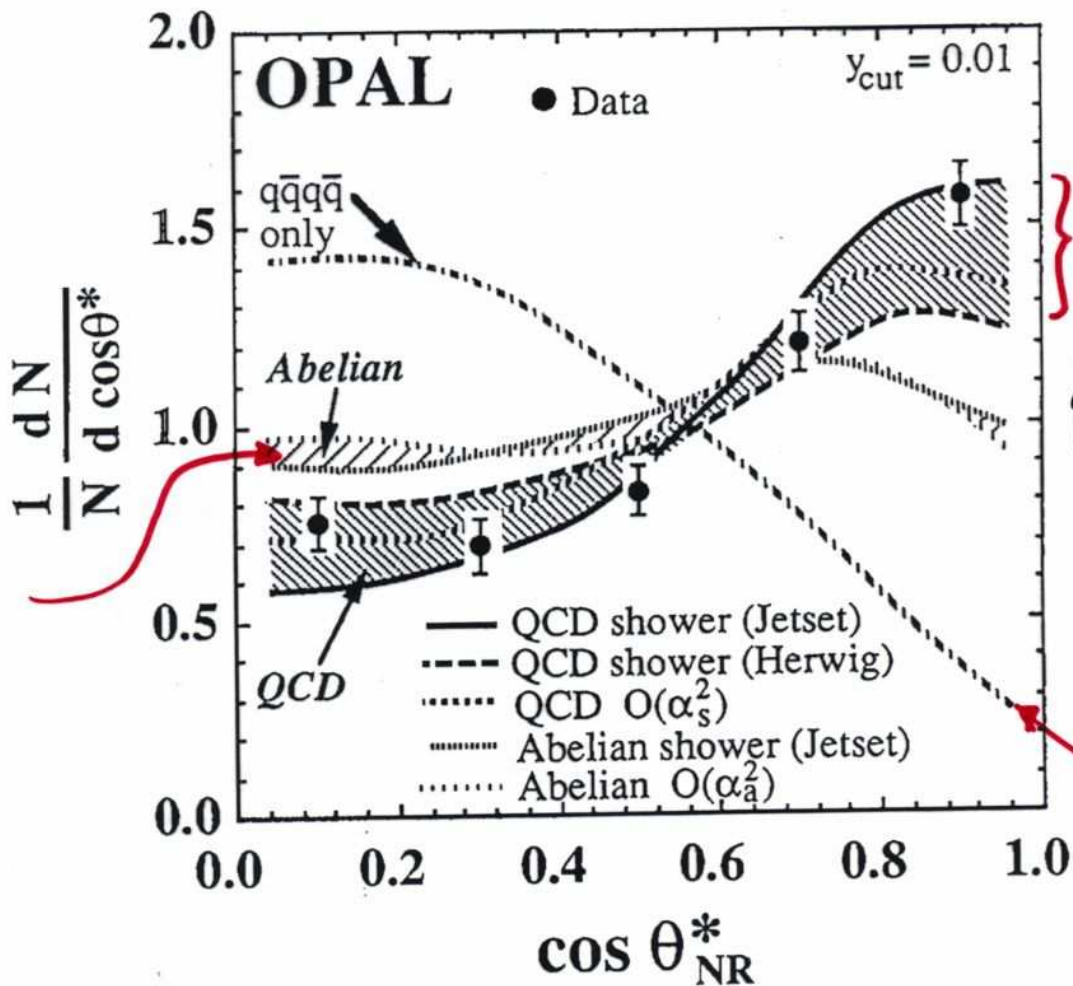
Algorithm	Resolution parameter	Recombination	Remarks	Theory
E	$y_{ij} = \frac{(\mathbf{p}_i + \mathbf{p}_j)^2}{s}$	$\mathbf{p}_k = \mathbf{p}_i + \mathbf{p}_j$	Lorentz invariant	NLO
E0	$y_{ij} = \frac{(\mathbf{p}_i + \mathbf{p}_j)^2}{s}$	$E_k = E_i + E_j$ $\mathbf{p}_k = E_k \cdot \frac{\mathbf{p}_i + \mathbf{p}_j}{ \mathbf{p}_i + \mathbf{p}_j }$	Conserves $\sum E$ , Violates $\sum \mathbf{p}$	NLO
JADE	$y_{ij} = \frac{2E_i E_j (1 - \cos \theta_{ij})}{s}$	$E_k = E_i + E_j$ $\mathbf{p}_k = \mathbf{p}_i + \mathbf{p}_j$	Conserves $\sum E$ , $\sum \mathbf{p}$	NLO
P	$y_{ij} = \frac{(\mathbf{p}_i + \mathbf{p}_j)^2}{s}$	$\mathbf{p}_k = \mathbf{p}_i + \mathbf{p}_j$ $E_k =  \mathbf{p}_k $	Conserves $\sum \mathbf{p}$ , Violates $\sum E$	NLO
P0	$y_{ij} = \frac{(\mathbf{p}_i + \mathbf{p}_j)^2}{s}$	$\mathbf{p}_k = \mathbf{p}_i + \mathbf{p}_j$ $E_k =  \mathbf{p}_k $	As $p$ -scheme, but $\sum E$ updated after each recombination	NLO
D, $k_t$	$y_{ij} = \frac{2\min(E_i^2, E_j^2)(1 - \cos \theta_{ij})}{s}$	$E_k = E_i + E_j$ $\mathbf{p}_k = \mathbf{p}_i + \mathbf{p}_j$	Conserves $\sum E$ , $\sum \mathbf{p}$ ; avoids exp. problems	NLO + NLLA
G	$y_{ij} = \frac{8E_i E_j (1 - \cos \theta_{ij})}{9(E_i + E_j)^2}$	$\mathbf{p}_k = \mathbf{p}_i + \mathbf{p}_j$	Conserves $\sum E$ , $\sum \mathbf{p}$ ; avoids exp. problems	NLO
C	$v_{ij} = 2(1 - \cos \theta_{ij})$ $y_{ij} = \min(E_i^2, E_j^2)v_{ij}$	$E_k = E_i + E_j$ $\mathbf{p}_k = \mathbf{p}_i + \mathbf{p}_j$	Conserves $\sum E$ , $\sum \mathbf{p}$ ; accounts for angular ordering	NLO + NLLA

$\mathbf{P}_i \hat{=} \text{Viervektor}$

$\mathbf{p}_i \hat{=} \text{Dreivektor}$

# Existenz des Drei-Gluon-Vertex

am Beispiel des Nachmann-Reiter-Winkels:



Erwartung falls keine Drei-Gluon-Kopplung

QCD-Erwartung inkl. Effekte durch Hadronisierung

alleiniger Beitrag von  $q\bar{q}q\bar{q}$

⇒ Drei-Gluon-Kopplung, d.h. Drei-Gluon-Vertex existiert!



## Messung der Farbfaktoren

Der differentielle 4-Jet-Wirkungsquerschnitt hat folgende Struktur:

$$d\sigma^{4\text{-jet}} = \left(\frac{d\sigma}{2\pi}\right)^2 \cdot C_F \cdot \left[ C_F \cdot A + C_A \cdot B + T_R \cdot n_f \cdot C \right]$$

ist also unmittelbar von den Farbfaktoren abhängig. Allerdings können diese nur im Verhältnis zu  $C_F$  bestimmt werden, da  $C_F$  ein Faktor ist, der global in den 4-Jet-WQ eingeht, d.h.

$$\frac{C_A}{C_F} = \frac{3}{4/3} = \frac{9}{4} = 2.25$$

$$\frac{T_R}{C_F} = \frac{1/2}{4/3} = \frac{3}{8} = 0.375$$

sind die von der QCD vorhergesagten Verhältnisse.

(Zur Erinnerung: QCD hat  $SU(3)_{\text{colour}}$ -Gruppenstruktur

# Aus Messung extrahierte Farbfaktorverhältnisse

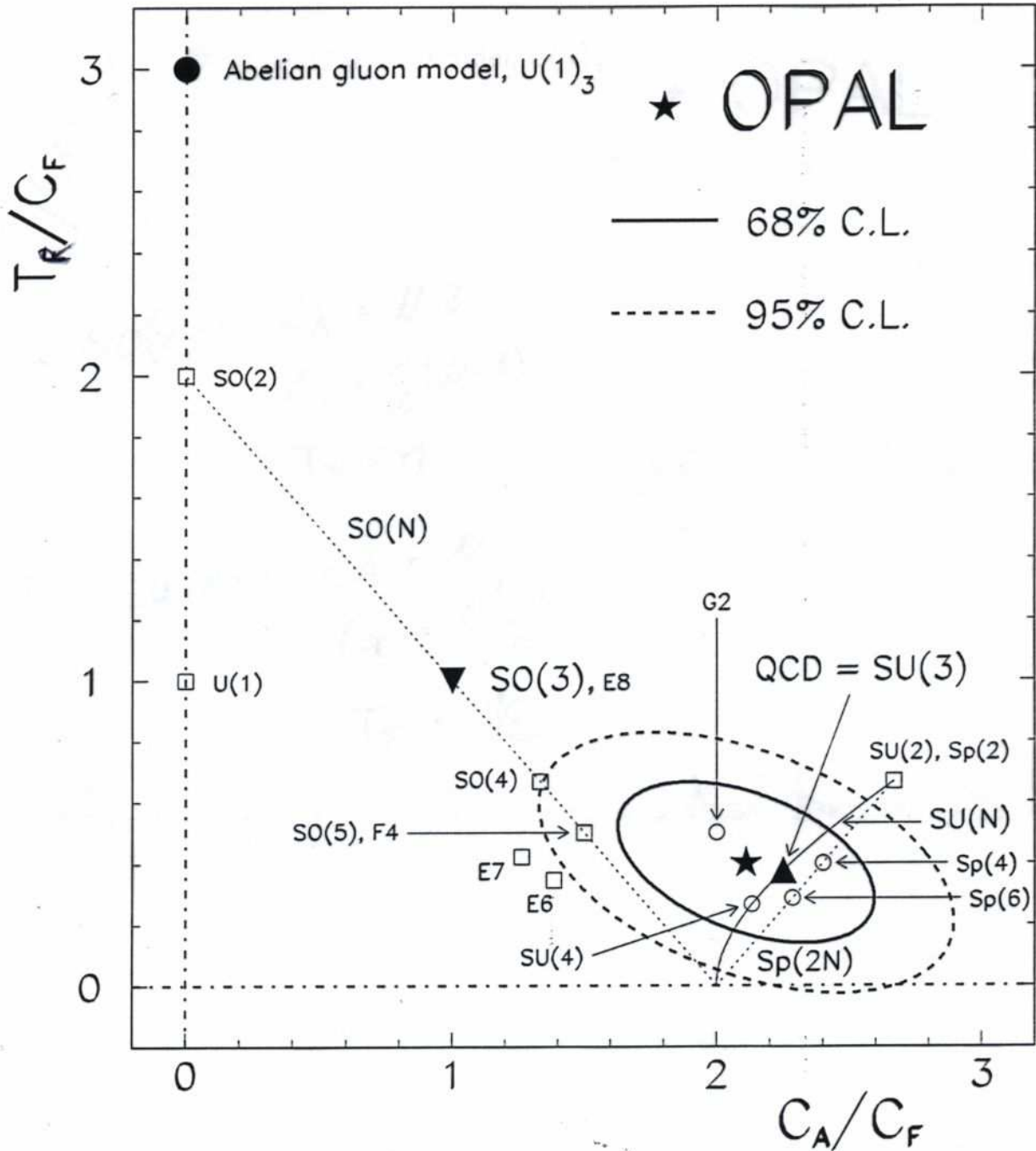
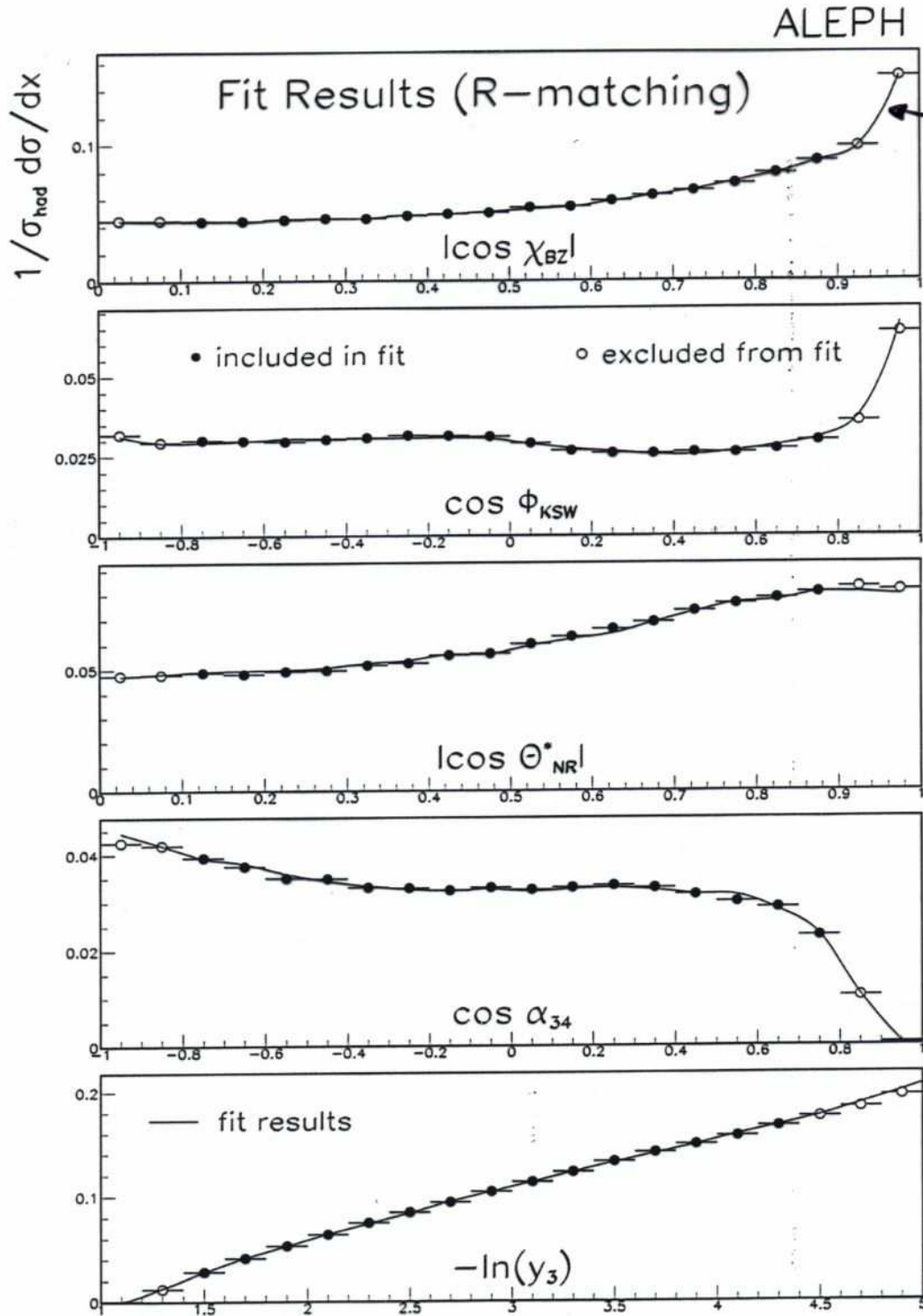


Figure 6: Measured values of colour factor ratios  $C_A/C_F$  and  $T_F/C_F$  with 68% and 95% confidence-level contours. Expectations from various gauge models are also shown. Those groups shown by the open squares and circles are already excluded because they do not contain three colour degrees of freedom for quarks.

# Farbfaktoren aus Winkelverteilungen



Anpassung der  
Theorie für freie  
Verhältnisse  $\frac{C_A}{C_F}$  und  
 $\frac{T_R}{C_F}$

Figure 3: Fit results (fit of  $\bar{\alpha}_s$ ,  $\frac{C_A}{C_F}$  and  $n_f \frac{T_F}{C_F}$ , R matching scheme) for all five variables. The statistical error of the data is smaller than the symbol size .

# Präzisestes Resultat

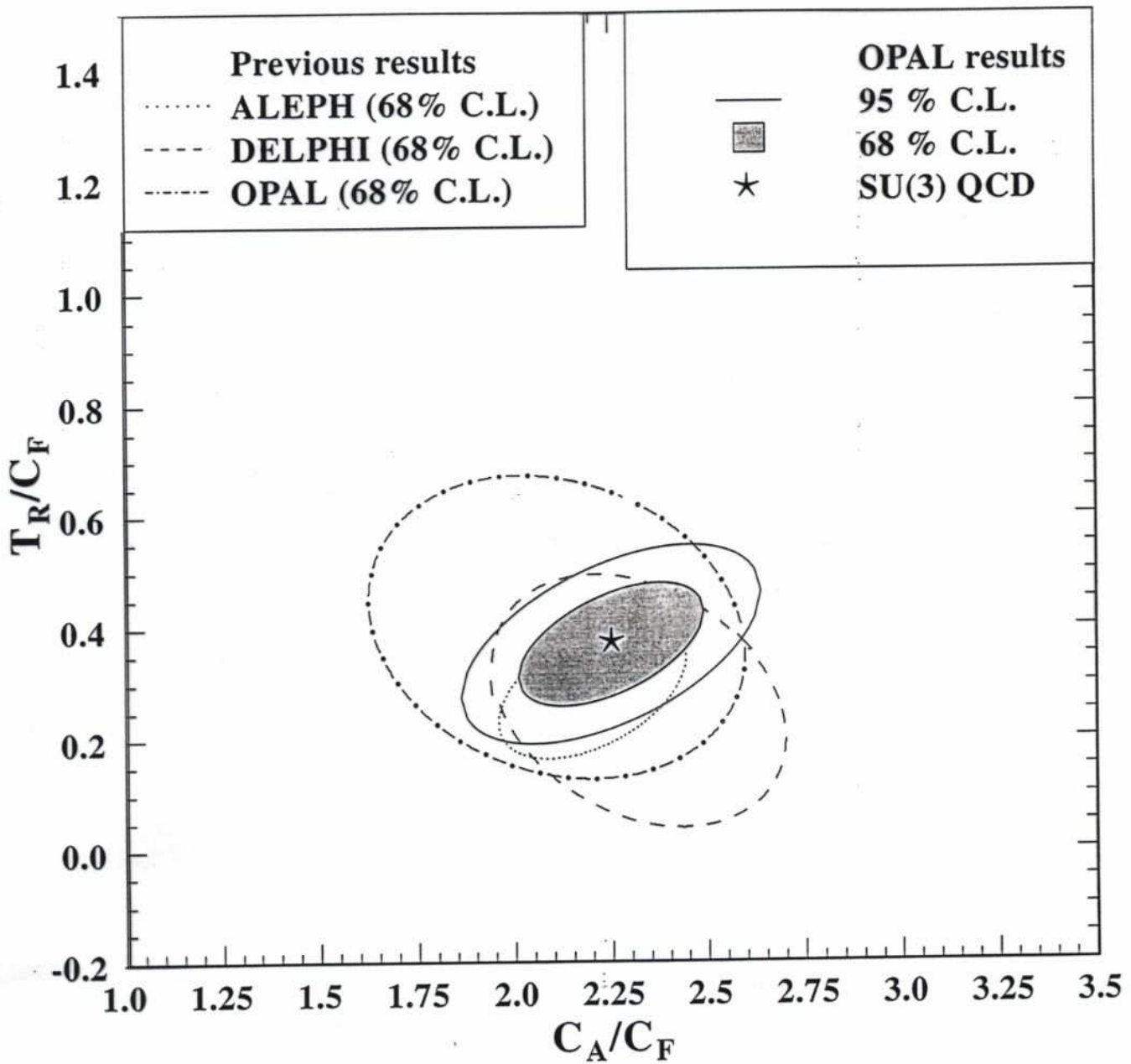


Figure 4: Two dimensional plot of the ratios of the colour factors compared with previous results of the LEP experiments [9, 12, 13]. The legend in the top right corner describes this analysis. The contours are based on total uncertainties.

$$\Rightarrow \left[ \begin{array}{l} \frac{C_A}{C_F} = 2.25 \pm 0.16 \quad (\text{SU(3)-QCD: } 2.25) \\ \frac{T_R}{C_F} = 0.37 \pm 0.07 \quad (\text{SU(3)-QCD: } 0.375) \end{array} \right.$$

## Exp. Bestimmung der Farbfaktoren

Um die absoluten Werte der Farbfaktoren bestimmen zu können, muss man noch Messungen heranziehen, die nur von  $C_F$  abhängen bzw. durch  $C_F$ -Terme dominiert werden, z. B. Thrust-Verteilungen:

$$\frac{1}{\sigma_0} \frac{d\sigma}{dT} \sim \frac{\alpha_s}{2\pi} \cdot C_F \cdot A(T) + \left(\frac{\alpha_s}{2\pi}\right)^2 \cdot C_F \cdot \left( C_F \cdot A(T) + C_A \cdot B(T) + T_R \cdot y(T) \right)$$

zusammen mit den Winkelverteilungen

$$\frac{1}{\sigma_0} \frac{d\sigma^{4\text{-jet}}}{d\theta} \sim \left(\frac{\alpha_s}{2\pi}\right)^2 \cdot C_F \cdot \left( C_F \cdot A(\theta) + C_A \cdot B(\theta) + T_R \cdot y(\theta) \right)$$

$$\Rightarrow \begin{cases} C_A = 2.84 \pm 0.24 & (\text{SU}(3)\text{-QCD: } 3) \\ C_F = 1.29 \pm 0.18 & (\text{SU}(3)\text{-QCD: } 4/3) \end{cases}$$

sowie für  $T_R$

$$T_R = 0.56 \pm 0.14 \quad (\text{SU}(3)\text{-QCD: } 1/2)$$

d.h. Farbfaktoren in Übereinstimmung mit Erwartung für eine QCD mit  $\text{SU}(3)$ -Gruppenstruktur!

# Farbfaktoren

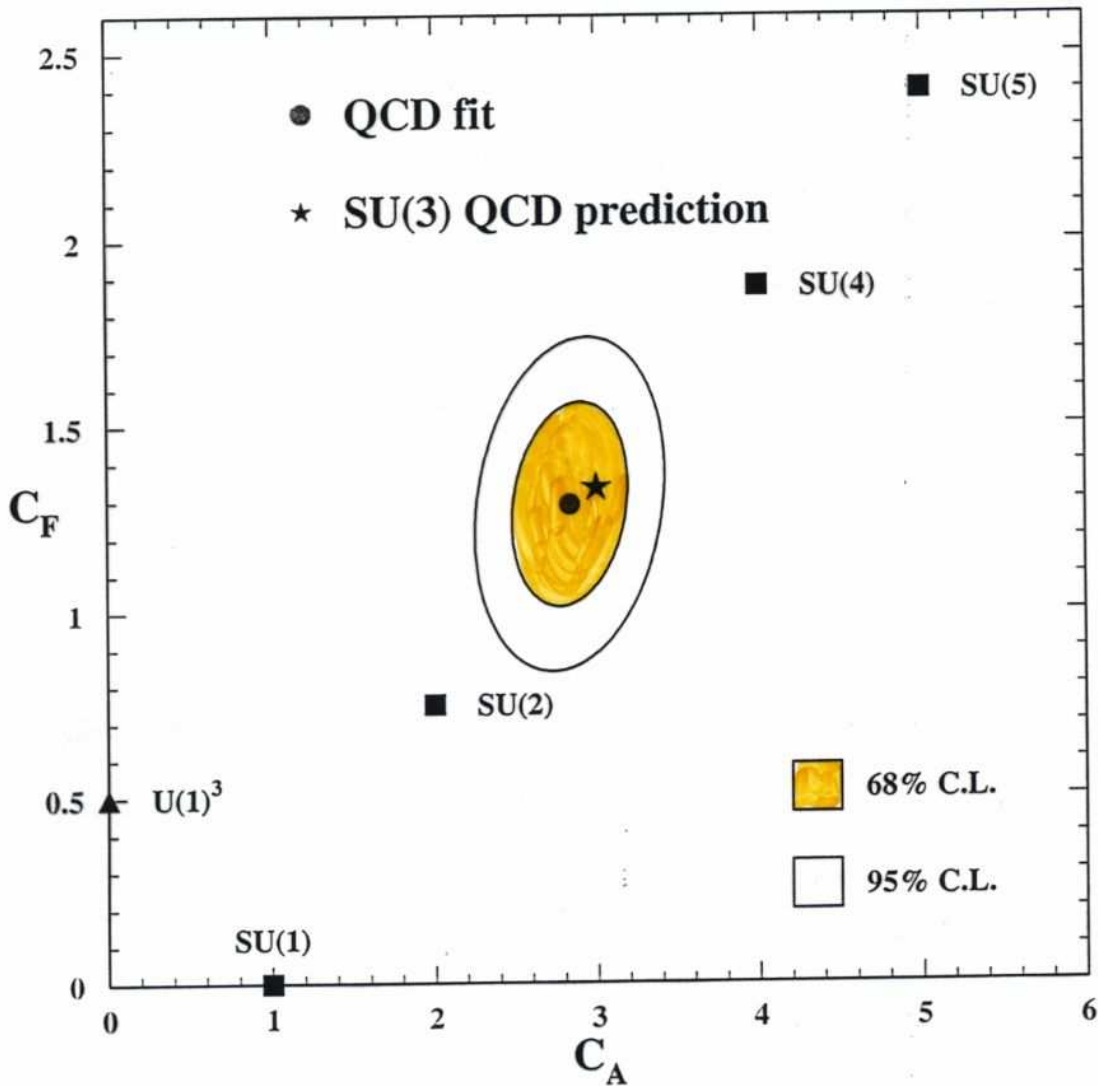


Figure 4: The figure presents the combined results for the colour factors  $C_A$  and  $C_F$  from fits to  $\alpha_s(M_{Z^0})$ ,  $C_A$  and  $C_F$  based on the observables  $1 - T$  and  $C$ . The square and triangle symbols indicate the expectations for  $C_A$  and  $C_F$  for different symmetry groups.